

**Коряков Игорь Витальевич**

*Начальник отдела разработки и производства технических средств*

*ООО Научно-внедренческая фирма «Криптон»*

## **ШИФРЫ КАК ФИЛЬТРЫ**

**Аннотация.** Если представить шифры структурно в виде фильтров, в которых регистры с задержанными отсчётами будут хранить состояние шифра, а умножение на коэффициенты будет заменено некоторыми функциональными преобразованиями, то окажется, что шифр SPN эквивалентен БИХ фильтру первого порядка, а шифр на основе сети Фейстеля – БИХ фильтру второго порядка с коэффициентом  $a_2 = 1$ . Причём вместо отсчётов входного сигнала на фильтр будет поступать последовательность подключей.

Обратимость канонической структуры фильтров (КСФ) позволяет построить класс шифров, в которых шифратор и дешифратор отличаются переменной мест функций БИХ и КИХ ветвей. Такие шифры обладают рядом интересных свойств, описываемых ниже.

**Ключевые слова:** цифровой фильтр, каноническая структура фильтра, криптография, блочный шифр, потоковый шифр.

### **Цифровые фильтры**

Передаточная функция цифрового фильтра имеет вид [1, с.141]:

$$H(z) = \frac{B(z)}{A(z)} = \frac{\sum_{m=0}^M b_m z^{-m}}{1 - \sum_{n=1}^N a_n z^{-n}}, \quad (1)$$

где  $z^{-t}$  – задержка сигнала на  $t$  отсчётов,  $b_m$  – коэффициенты нерекурсивной секции фильтра (фильтр с конечной импульсной характеристикой)

КИХ),  $a_n$  – коэффициенты рекурсивной секции (фильтр с бесконечной импульсной характеристикой БИХ).

Разностное уравнение фильтра может быть представлено в форме:

$$y(k) = x(k) - \sum_{n=1}^N a_n D_n(k-1) + \sum_{n=1}^N b_n D_n(k-1),$$

где  $y_k$  – выходной отсчёт фильтра,  $x_k$  – входной отсчёт фильтра,  $D_n()$  – значение на  $n$ -том выходе линии задержки, определяемой как

$$D_n(k) = D_{n-1}(k-1) | n = N, \dots, 2$$

и

$$D_1(k) = x(k) - \sum_{n=1}^N a_n D_n(k-1).$$

Каноническая структура фильтра (КСФ), соответствующая этому уравнению, может быть представлена в форме, приведённой на рисунке 1.

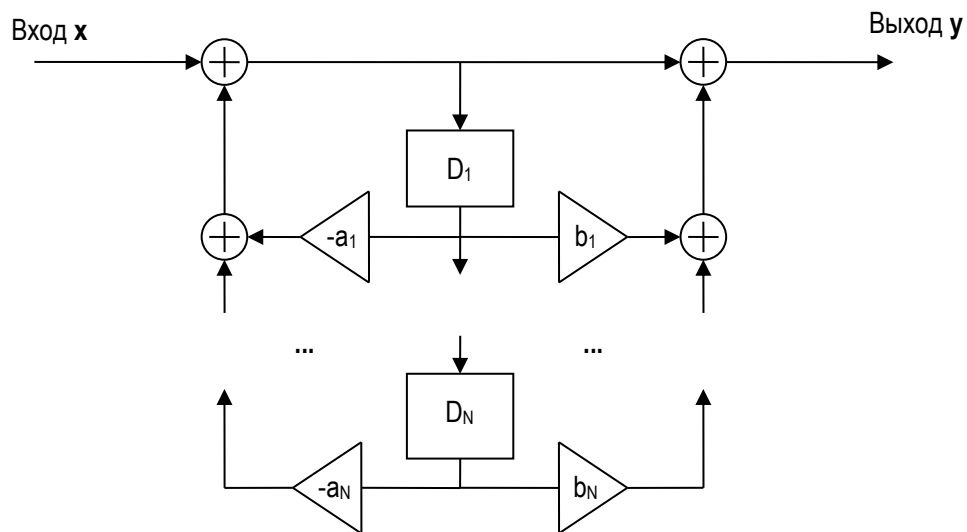


Рис. 1. Каноническая структура цифрового фильтра

### Сходство структур

Существует множество разнообразных объектов с одинаковыми структурными признаками, аналоги деления или умножения на некий полином. Например, аналоги деления на полином:

– интегратор,

- фильтр с бесконечной импульсной характеристикой (БИХ).
- самосинхронизирующийся скремблер,
- шифратор в режиме гаммирования с обратной связью (Cipher Feedback, CFB),

Объекты – аналоги умножения на полином:

- дешифратор в режиме CFB,
- самосинхронизирующийся дескремблер,
- дифференциатор,
- фильтр с конечной импульсной характеристикой (КИХ).

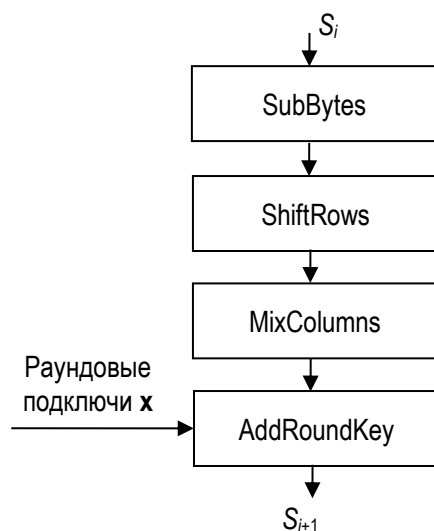
Децимирующий CIC фильтр (cascaded integral-comb, каскадный интегрально-гребенчатый фильтр) – сначала деление, затем умножение на полином.

Интерполирующий CIC фильтр – сначала умножение, затем деление на полином.

### **Переход к структуре цифрового фильтра**

Традиционно принято изображать структуры блочных шифров в виде последовательности операций. Например, раунд шифра AES отображается в виде 4-х последовательных операций, изображённых на рисунке 2 в виде прямоугольников со стрелками:

1. Текущее состояние шифра  $S_i$  является входом преобразования и подвергается табличной подстановке: SubBytes(state);
2. Перестановка: ShiftRows(state);
3. Перестановка: MixColumns(state);
4. Сложение с подключём: AddRoundKey(state) образует следующее состояние шифра  $S_{i+1}$ .

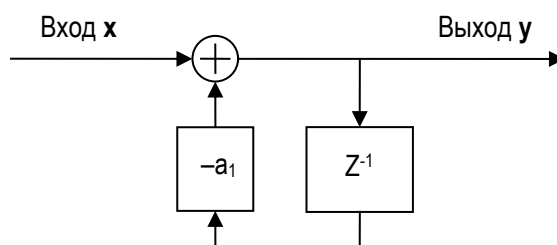


**Рис. 2. Структура раунда шифра AES**

А теперь посмотрим, что собой представляет шифр AES с точки зрения цифрового фильтра. Он содержит некий регистр состояния (128 бит), некое преобразование подстановки-перестановки  $F$  и сложение с подключом  $k_r$ .

Итеративный блочный шифр типа SPN (substitution-permutation network), к которому относится стандарт AES, можно представить структурой БИХ фильтра с делением на полином. На рисунке 3 представлена структура БИХ фильтра первого порядка с передаточной функцией

$$H(z) = \frac{1}{A(z)} = \frac{1}{1 - a_1 z^{-1}} \quad (2)$$



**Рис. 3. Структура БИХ фильтра 1-го порядка**

Здесь  $Z^{-1}$  – элемент задержки на один отсчёт (обычно параллельный регистр),  $-a_1$  – умножитель на коэффициент  $a_1$ ,  $+$  – сумматор. На вход фильтра поступают отсчёты сигнала  $x$ , на выходе фильтра формируются отсчёты  $y$ .

Теперь рассмотрим в общем виде структуру шифра SPN, представленную на рисунке 4.

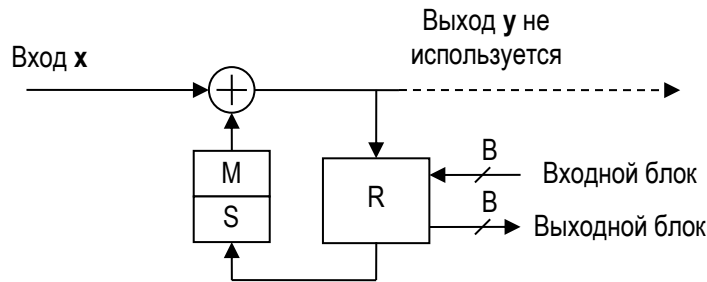


Рис. 4. Структура SPN шифратора

Здесь  $R$  – параллельный регистр, хранящий текущее состояние шифра  $B$  бит,  $S$  и  $M$  – раундовая функция (подстановка и перестановка, соответственно),  $+$  – сумматор. Если проводить аналогию с БИХ фильтром, то вместо умножителя стоит функциональный преобразователь, на вход фильтра поступают подклочи  $x$ , начальное состояние – это входной блок, конечное состояние после некоторого числа тактов – результирующий блок, а выход фильтра  $y$  не используется.

На рисунке 5 представлен БИХ фильтр второго порядка с передаточной функцией

$$H(z) = \frac{1}{A(z)} = \frac{1}{1 - a_1 z^{-1} - a_2 z^{-2}}. \quad (3)$$

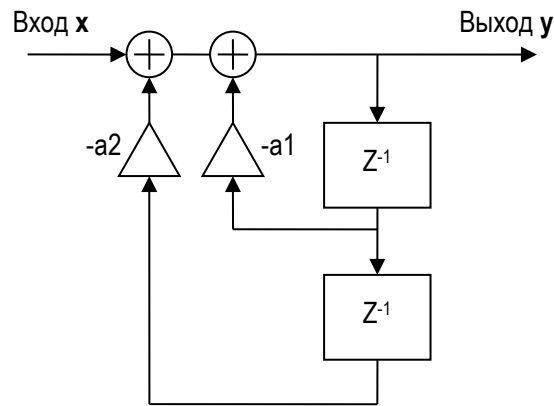


Рис. 5. Структура БИХ фильтра 2-го порядка

Здесь изображён фильтр 2-го порядка с двумя элементами задержки  $Z^{-1}$  и двумя постоянными коэффициентами  $-a_1$  и  $-a_2$ .

Это фактически схема Фейстеля, реализованная в ГОСТ 28147 (см. рисунок 6), у которой коэффициент  $-a_2 = 1$ , а  $-a_1$  представлен последовательными преобразованиями S (узлы замены) и M (циклический сдвиг).

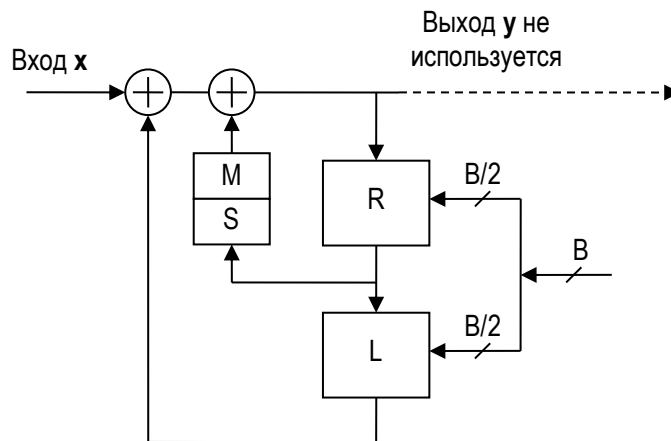


Рис. 6. Сеть Фейстеля как фильтр 2-го порядка

При этом входом является не сигнал  $x$ , а состояние элементов задержки R и L как правой и левой частей шириной  $B/2$  входного блока шириной  $B$ , а  $x$  является последовательностью подключей. Выход фильтра  $y$  не используется. Выходом преобразования является состояние элементов

задержки после фильтрации  $r$  отсчётов (число раундов) входного вектора  $x$ . На примере ГОСТ 28147 вход  $B$  составляет 64 разряда, регистры  $R$  и  $L$  – 32-х разрядные,  $S$  – это восемь 4-х разрядных таблиц,  $M$  – циклический сдвиг. Подключи – это 32 целых 32-х разрядных отсчёта. Сложение с подключами делается в несколько другой точке (не после задержки в регистре  $R$ , а до неё), место этой точки не влияет на свойства шифра.

Рассмотрим ещё один БИХ фильтр с двумя единичными коэффициентами  $a_i=1$  и  $a_j=1$  и остальными коэффициентами, равными нулю.

Такой фильтр будет иметь один полюс, расположенный на единичной окружности в  $z$ -плоскости и будет неустойчивым, то есть его импульсная характеристика не будет убывать. Реализация фильтра в виде линии задержки, на вход которой поступает сумма отводов  $i$  и  $j$  и будет представлять собой генератор при ненулевом начальном состоянии ЛЗ. Достаточно быстро такой генератор (при обычной целочисленной арифметике без насыщения) выйдет из линейного режима и будет переполняться по модулю разрядности арифметики. Если  $i = 24$  и  $j = 55$ , то получится один из вариантов задержанного генератора Фибоначчи, широко применяемого в криптографии.

### Обратимость канонической структуры

Для фильтра, определяемого в соответствии с формулой (1), при условии  $N = M$  и  $b_0 = 1$ , возможен обратный фильтр с заменой местами числителя и знаменателя:

$$H^{-1}(z) = \frac{A(z)}{B(z)} = \frac{\sum_{n=1}^N a_n z^{-n}}{1 - \sum_{m=1}^M b_m z^{-m}}. \quad (4)$$

Обратный фильтр по выходной последовательности  $y$  прямого фильтра точно восстанавливает его входную последовательность  $x$ .

Свойство обратимости КСФ (восстановления входного сигнала по выходному) при перестановке коэффициентов  $a_n$  и  $b_n$  сохраняется, даже

если сложение заменить любой коммутативной операцией, а умножение – любым функциональным преобразованием, в том числе – необратимым.

На основе КСФ возможно построение шифра, в котором схемы зашифрования и расшифрования будут отличаться переменной мест преобразований  $a_n$  и  $b_n$ .

Если мы зафиксируем размер внутреннего состояния шифра (например, 128 бит), то могут быть масштабируемыми порядок фильтра  $N$  и ширина шифра  $B$  (разрядность регистров линии задержки). Вплоть до  $N = 1$  и  $B = 128$  и до  $N = 128$  и  $B = 1$ . Например, если мы задаём элемент, подвергающийся шифрованию, как байт, то получим шифр с  $N = 16$  и  $B = 8$ .

При этом, в определённом смысле,  $N$  является аналогом числа раундов блочного шифра, а преобразования  $a_n$  и  $b_n$  – аналогом раундовых функций.

И если для  $B = 1$  функции задаются простейшими подстановками: значение входа, инверсное значение входа, константа «0» и константа «1» (это приводит к классическим потоковым шифрам с одноразрядными регистрами), то для  $B = 8$  наиболее разумными представляются фиксированные случайные перестановки  $8 \times 8$ , заданные таблично, а для  $B = 128$  – вопрос требует особого изучения.

Рассмотрим конкретный вариант КСФ шифра с  $N = 1$  и  $B = 128$ , схема зашифрования и расшифрования которого приведены на рисунке 7.

Здесь  $D_1$  – элемент задержки в виде 128-ми разрядного параллельного регистра,  $a_1$  и  $b_1$  – функциональные преобразования, приближённые к фиксированным случайным подстановкам  $128 \times 128$ . Операции сложения представлены 128-разрядными сумматорами по модулю 2.



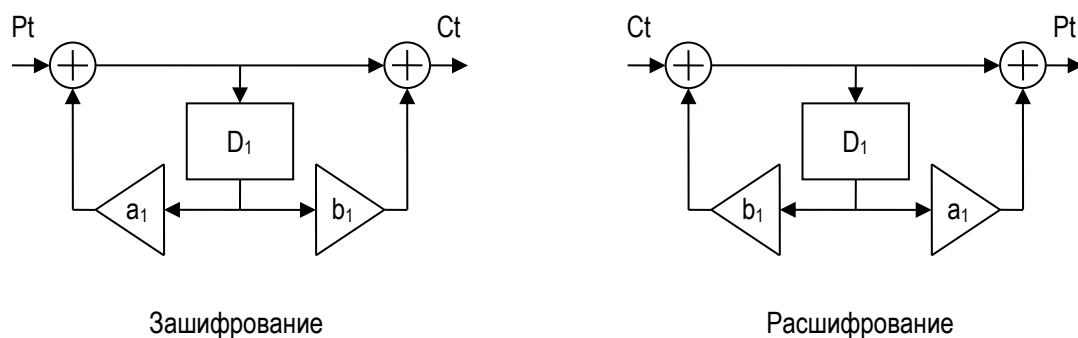


Рис. 7. Схема КСФ шифра с  $N = 1$  и  $B = 128$

Зависимость преобразований от ключа может быть введена либо в начальное состояние (как в потоковых шифрах), либо в функциональные преобразования, например, как представлено на рисунке 8.

При этом ключ  $K$  длиной 256 бит разделяется на две половины  $K_1$  и  $K_2$ , которые складываются по модулю 2 с входами и выходами функциональных преобразователей  $a_1$  и  $b_1$  в соответствии с шифром Ивен-Мансура [2] с доказуемой стойкостью.

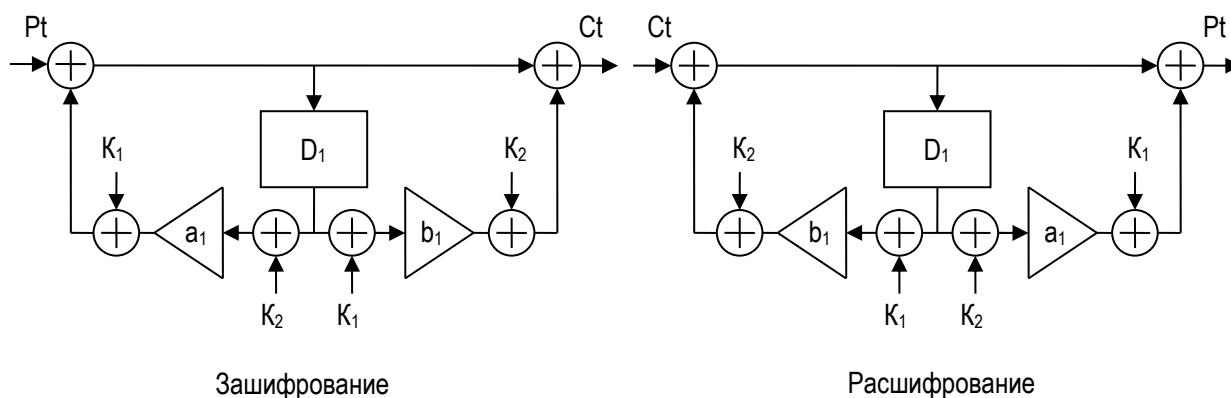
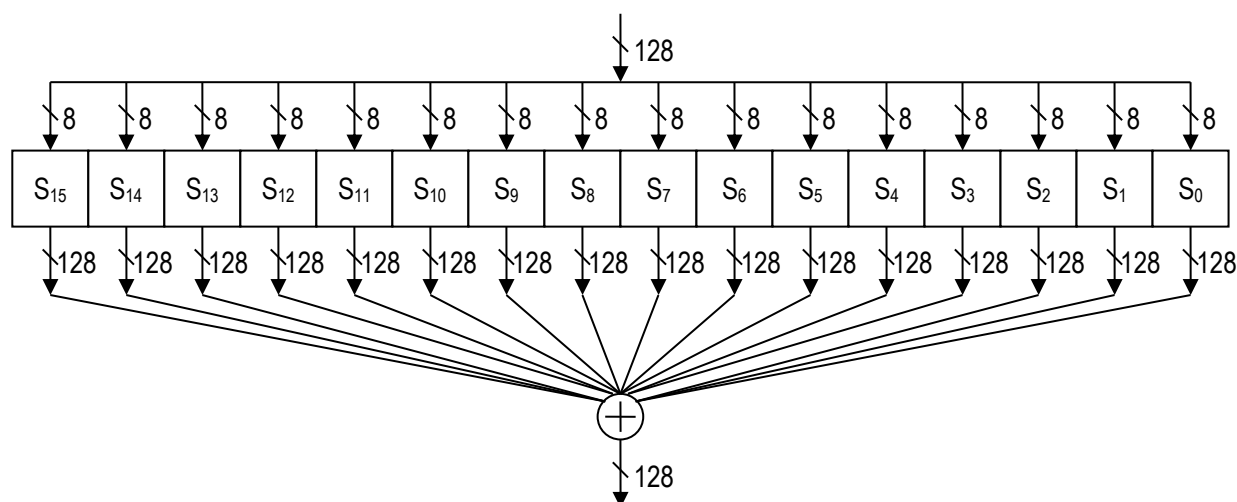


Рис. 8. Пример схемы ввода подключей в функциональные преобразования

Функциональные преобразователи  $a_1$  и  $b_1$  могут быть реализованы в виде «широких» S-блоков, содержащих, например, по 16 таблиц фиксированных случайных подстановок  $S_0 - S_{15}$  размером  $8 \times 128$ , конкатенация 16-ти входов которых образует 128-ми разрядный вход преобразования, а сумма по модулю 2 всех 16-ти 128-ми разрядных выходов таблиц образует

выход преобразования. Структура таких функциональных преобразователей приведена на рисунке 9.



**Рис. 9. Схема «широкого» S-блока**

Какой-либо отбор S-блоков скорее всего не потребуется, поскольку комбинаторная мощность такого блока очень велика ( $2$  в степени порядка  $500000$ ) и вероятность получения случайным образом «плохого» блока исчезающе мала. Такие S-блоки при шифровании  $N \cdot B$  бит применяются однократно, в то время как в SPN шифрах один S-блок применяется повторно сотни раз при шифровании одного блока данных, что требует очень строгого подхода к его формированию. Конечно, объём памяти для реализации «широких» S-блоков довольно значителен –  $128K$  байт для конкретного примера, но в настоящее время такой объём является вполне доступным ресурсом.

Предполагаемым преимуществом класса шифров КСФ будет являться монотонная масштабируемость по  $N$  и  $B$ , что помимо адаптации шифра к конкретным задачам позволит исследовать уменьшенные версии шифров. Кроме того, аппаратная реализация шифра позволяет сократить время шифрования одного блока до одного такта.

### **Литература**

1. Оппенгейм А. В., Шафер Р. В. Цифровая обработка сигналов. М.: СВЯЗЬ, 1979. 416 с.
2. Even S., Mansour Y. A Construction of a Cipher From a Single Pseudorandom Permutation. In: Imai, H., Rivest, R.L., Matsumoto, T. (eds.): ASIACRYPT 1991. LNCS, vol. 739. Springer, Heidelberg. 1993. P. 210–224.